

Н.Н. Власов, Л.К. Гладилин,  
Р.К. Дементьев

**Изучение дифракционного рождения  
 $D^{*\pm}$  мезонов в реакциях  
глубоконеупругого рассеяния  
на коллайдере HERA.**

**Часть III.**

**Сравнение экспериментальных  
результатов с модельными расчетами.**

Препринт НИИЯФ МГУ - 2003 - 3/716

Н.Н. Власов, Л.К. Гладилин,  
Р.К. Дементьев

**Изучение дифракционного рождения  
 $D^{*\pm}$  мезонов в реакциях  
глубоконеупругого рассеяния  
на коллайдере HERA.**

**Часть III.**

**Сравнение экспериментальных  
результатов с модельными расчетами.**

Препринт НИИЯФ МГУ - 2003 - 3/716

МОСКОВСКИЙ ГОСУДАРСТВЕННЫЙ УНИВЕРСИТЕТ  
им. М.В. ЛОМОНОСОВА

---

НАУЧНО-ИССЛЕДОВАТЕЛЬСКИЙ ИНСТИТУТ  
ЯДЕРНОЙ ФИЗИКИ им. Д.В. СКОБЕЛЬЦЫНА

Н.Н. Власов, Л.К. Гладилин,  
Р.К. Дементьев

**Изучение дифракционного рождения  
 $D^{*\pm}$  мезонов в реакциях  
глубоконеупрого рассеяния  
на коллайдере HERA.**

**Часть III.**

**Сравнение экспериментальных  
результатов с модельными расчетами.**

Препринт НИИЯФ МГУ - 2003 - 3/716

УДК 539.137.12/.6

ББК 22.38

B58

N.N.Vlasov, L.K.Gladilin, R.K.Dementiev

e-mail: vlasov@mail.desy.de

Investigation of diffractive  $D^{*\pm}$  meson production in  
deep inelastic scattering at HERA collider.

Part III. Comparision of the experimental data with  
the model calculations.

Preprint NPI MSU - 2003 - 3/716

**Abstract.** The measured integrated and differential cross section of diffractive  $D^{*\pm}$  production has been compared with predictions of different diffractive models in the kinematic region  $1.5 < Q^2 < 200 \text{ ГэВ}^2$ ,  $0.02 < y < 0.7$ ,  $x_F < 0.035$ ,  $\beta < 0.8$ ,  $P_T(D^*) > 1.5 \text{ ГэВ}$ ,  $|\eta(D^*)| < 1.5$ .

Н.Н. Власов, Л.К. Гладилин, Р.К. Дементьев

Изучение дифракционного рождения  $D^{*\pm}$  мезонов в  
реакциях глубоконеупругого рассеяния на  
коллайдере HERA.

Часть III. Сравнение экспериментальных результатов  
с модельными расчетами.

Препринт НИИЯФ МГУ - 2003 - 3/716

**Аннотация.** Проведено сравнение измерений полных и дифференциальных сечений дифракционного рождения  $D^{*\pm}$  мезонов с предсказаниями различных дифракционных моделей в кинематической области  $1.5 < Q^2 < 200 \text{ ГэВ}^2$ ,  $0.02 < y < 0.7$ ,  $x_F < 0.035$ ,  $\beta < 0.8$ ,  $P_T(D^*) > 1.5 \text{ ГэВ}$ ,  $|\eta(D^*)| < 1.5$ .

© Н.Н. Власов 2002

© Л.К. Гладилин 2002

© Р.К. Дементьев 2002

© НИИЯФ МГУ 2002

## 1 Введение.

Дифракционная диссоциация в глубоконеупругом рассеянии (ГНР) остается до конца не понятным процессом адронной динамики. Несмотря на множество теоретических подходов к ее описанию нельзя сделать однозначного вывода о механизме жесткой дифракции. Это объясняется, в частности, и недостатком экспериментального материала, стимулирующего развитие феноменологии дифракционных процессов.

Все многообразие моделей жесткой дифракции при глубоконеупругом *ep* рассеяния можно условно разделить на две категории. В одной из них используется Редже - формализм, дополненный представлениями о структуре померона. В таком подходе дифракционное образование кварков моделируется механизмом бозон - глюонного слияния, когда виртуальный фотон зондирует глюонную компоненту померона.

Модели другой категории используют аппарат пертурбативной квантовой хромодинамики (КХД). Дифракционное рождение кварков осуществляется путем флуктуации фотона в состояние  $q\bar{q}$  и, следующего за этим, обмена с протоном двумя глюонами в синглетном по цвету состоянии. В моделях этого подхода партонная структура обменного агента существенно отличается как от адроноподобного померона, так и от адроноподобных  $t$  - канальных структур в недифракционном рассеянии.

В настоящей работе на основе новых данных сотрудничества ZEUS о дифракционном рождении очарованных кварков проводится сравнение экспериментальных данных с предсказаниями модели структурного померона в подходе ACTW - [1], а также с КХД расчетами в рамках модели двухглюонного обмена [2], [3], [4], [5] и модели насыщения [6].

Глубоконеупругие *ep* - взаимодействия, зарегистрированные на установке ZEUS коллайдера HERA, отбирались при виртуальности обменного фотона  $Q^2 > 1.5 \text{ ГэВ}^2$  и при энер-

гии фотон-протонных взаимодействий  $W_{\gamma p}$  на порядок превышающих  $W_{\gamma p}$  в экспериментах на фиксированных мишнях. Дифракционное образование  $s$ -кварков детектировалось на основе реконструкции  $D^*$  мезонов в канале распада  $D^* \rightarrow D^0\pi$ , с последующим распадом  $D^0$  мезона:  $D^0 \rightarrow K\pi$ . Процедура отбора и реконструкция  $e p$ -взаимодействий с образованием  $D^*$  приведены в работе [7]. Методика селекции и основные характеристики дифракционных взаимодействий с рождением  $D^*$  мезонов описаны в работе [8]. Далее мы используем обозначения и терминологию, введенные в этих работах.

## 2 Модели структурного померона.

Модели структурного померона строятся на основе идеи Ингельмана и Шляйна [9], предложивших рассматривать померон, как адроноподобный объект, состоящий из партонов. В таком подходе структура померона может быть описана с помощью функций плотности партонов, подчиняющихся эволюции согласно уравнениям DGLAP [10], [11], [12]. При этом процессы образования струй или рождения тяжелых кварков описываются теми же матричными элементами жесткого рассеяния, что и процессы  $e p$ - и  $p\bar{p}$ -взаимодействий.

Сечения дифракционных процессов, вызванных рассеянием прямого фотона на конституентах померона, могут быть представлены произведением функций плотности партонов  $f^D$  и коэффициентных функций жесткого рассеяния:

$$d\sigma = \sum_i \int d\beta f^D(\beta, x_F, Q^2) d\sigma_i,$$

где  $\beta$  и  $x_F$  - стандартные дифракционные переменные, а суммирование проводится по вкладам жестких процессов. Партонные плотности  $f^D(\beta, x_F, Q^2)$ , определяющие структуру по-

мерона, а также параметры померонной траектории являются параметрами этих моделей.

## 2.1 Модель ACTW.

В основе модели лежит работа Альверо, Коллинза, Террона и Витмора [1] посвященная определению функционального вида плотности partонов в помероне по существующим экспериментальным данным.

Образование тяжелых夸克ов в модели происходит в процессе бозон-глюонного слияния ( $\gamma g \rightarrow Q\bar{Q}$ ), который доминирует в лидирующем порядке теории возмущений. Параметры модели определяются подгонкой дифракционной структурной функции  $F_2^{D(3)}(\beta, x_F, Q^2)$  в LO или NLO приближении к экспериментально измеренным  $F_2^{D(3)}$ . Распределения плотности легких夸克ов и глюонов в помероне находятся через DGLAP эволюцию с использованием массовой схемы, когда массы образующихся тяжелых夸克ов отличны от нуля.

Практическим развитием ACTW подхода является адаптация структурных функций  $F_2^{D(3)}$  для использования совместно с Монте Карло программой HVQDIS [13], позволяющей проводить расчеты 4-импульсов конечных partонов с последующей фрагментацией их в адроны.

Модель позволяет расчитывать сечения дифракционного рождения  $D^{*\pm}$  мезона в требуемой кинематической области для трех траекторий померона  $\alpha_F(0) = 1.08, 1.14$ , и  $1.19$  ( $\alpha'_F = 0.25$ ) и пяти схем структуры померона :

- A - померон состоит только из мягких夸克ов
- B - померон состоит из глюонов с примесью мягких夸克ов
- C - в состав померона входят мягкие夸克и с примесью жестких夸кков

- D - померон состоит из глюонов с примесью мягких и жестких夸克ов
- SG- померон состоит из супержестких глюонов с примесью мягких夸克ов

Адронизация с夸克ов в  $D^{*\pm}$  мезоны осуществляется согласно фрагментационной функции Петерсона [14].

## 2.2 Сопоставление данных с расчетами по модели ACTW.

Для анализа использовались данные о дифракционном образовании  $D^*$  мезонов в кинематической области:

$$1.5 < Q^2 < 200 \text{ ГэВ}^2, \quad 0.02 < y < 0.7,$$

$$x_{IP} < 0.035, \quad \beta < 0.8, \quad (1)$$

$$P_T(D^*) > 1.5 \text{ ГэВ}, \quad |\eta(D^*)| < 1.5.$$

Как показали расчеты, наилучшего согласия с экспериментальными данными удается достичь используя следующие параметры модели ACTW:  $\alpha_{IP}(0) = 1.14$ , а структура померона соответствует схеме  $B$ , т.е. кварк-глюонной структуре померона со следующей параметризацией функций плотности кварков  $f_q(\beta, Q^2)$  и глюонов  $f_g(\beta, Q^2)$ :

$$\beta f_q(\beta, Q^2) = 0.239 \beta(1 - \beta),$$

$$\beta f_g(\beta, Q^2) = 4.5 \beta(1 - \beta).$$

Для фрагментации чарма использовалась функция Петерсона с параметром  $\epsilon = 0.035$ . Вероятность того, что  $c$  кварк фрагментирует в  $D^{*\pm}$  мезон была зафиксирована равной 0.235 [15]. Шкала факторизации и перенормировки была выбрана равной  $\mu_R^2 = \mu_F^2 = Q^2 + 4m_c^2$ , а масса  $c$ -夸арка  $m_c$  варьировалась между значениями 1.3 и 1.6 ГэВ.

На рисунке 1 показаны результаты сравнения измеренных дифференциальных сечений - для поперечного импульса  $p_T(D^*)$  и псевдобыстроты  $\eta(D^*)$   $D^*$  мезона, для квадрата инвариантной массы дифракционной системы  $M_X^2$  и доли  $x$  от энергии дифракционной системы, уносимой  $D^*$  мезоном - с предсказаниями модели ACTW для структурной схемы В.

На рисунке 2 представлены результаты сравнения для дифракционных переменных  $\beta$  и  $x_F$ , для виртуальности фотона  $Q^2$  и энергии  $W$  γр - взаимодействий. Заштрихованные области гистограмм иллюстрируют неопределенность, возникающую при расчетах с различными значениями массы очарованного кварка. Предсказания модели находятся в хорошем согласии с измерениями, как по форме распределений, так и по абсолютным значениям сечений, во всей изучаемой кинематической области.

### 3 Моделирование жесткой дифракции в рамках пертурбативной КХД.

В процессах рождения тяжелых夸克ов шкала отсчета энергетических характеристик начинается примерно с 1.5 ГэВ. Это позволяет использовать аппарат пертурбативной КХД даже при не больших значениях поперечных импульсов конечных состояний. До экспериментов на HERA дифракционные конечные состояния в массовой схеме рассматривались только для рождения кварк - антикварковых пар  $q\bar{q}$  [2]. Такие состояния доминируют в области малых масс (больших  $\beta$ ). Но как показали измерения на HERA, - существенно расширявшие дифракционное фазовое пространство в область малых  $\beta$ , - нельзя пренебречь вкладом конечных состояний с излучением глюонов. Это означает, что конечное состояние  $q\bar{q}g$  также должно входить в расчеты дифракционных сечений, либо отдельно, либо в сочетании с конечным состоянием

$q\bar{q}$ . Ниже мы кратко изложим формализм двух моделей, которые на основе КХД расчетов описывают дифракционное рождение  $q\bar{q}$  и  $q\bar{q}g$  систем.

### 3.1 Модель насыщения.

Феномен партонного насыщения возник при анализе данных ГНР в области малых значениях переменной Бьеркена  $x$ . Измерения протонной структурной функции  $F_2$  при  $x \rightarrow 0$  и фиксированной виртуальности фотона  $Q^2$  показали сильный рост структурной функции  $F_2$ . Интерпретация этого роста с помощью линейных уравнений эволюции КХД означает рост партонной плотности (морских кварков и глюонов), что при расчетах сечений этих процессов ведет к нарушению условия унитарности. Данное наблюдение послужило сигналом о том, что приближение линейных уравнений эволюции упускает важные физические эффекты, ответственные за сохранение унитарности. В модели Голек-Бирната и Вюстхоффа (GBW) [6] эти эффекты связываются с насыщением партонных плотностей в протоне (а для дифракционных процессов - в помероне) при малых значениях переменной  $x$ . В этой модели, названной моделью насыщения, процесс  $\gamma^* p$  взаимодействия описывается следующим образом. Виртуальный фотон  $\gamma^*$  до взаимодействия с протоном расщепляется на кварк-антикварковую пару  $q\bar{q}$ , называемую диполем. В пределе малых  $x$  время развития фотонной флуктуации с эффективной массой  $M \tau_{q\bar{q}} \approx 1/(xM)$  достаточно велико для того, чтобы флуктуация могла развиться до больших поперечных размеров и достигнуть протона. За это время один из кварков фотонной флуктуации может излучить глюон. Эмиссия глюона из кварка рассматривается как создание нового диполя (Рис.3). Каждый новый диполь может излучить глюон с более мягким продольным импульсом и образовать следующий диполь. Таким образом, начальный диполь ( $q\bar{q}$  пара), с попе-

речным расстоянием  $r$  между  $q$  и  $\bar{q}$ , эволюционирует в совокупность диполей с поперечными расстояниями  $r'$ , обладающих плотностью  $n(r, r', x)$ . Взаимодействие каждого диполя с протоном осуществляется путем обмена пертурбативным глюоном, а сечение этого процесса, именуемое сечением диполя  $\sigma(r, x)$ , равно

$$\sigma(r, x) = \int dr' n(r, r', x) \sigma_{gp}(r'),$$

где  $\sigma_{gp}(r')$  описывает взаимодействие диполя  $r'$  с протоном.

В модели насыщения сечение диполя ограничивается не зависящим от энергии параметром  $\sigma_0$ , который гарантирует сохранение унитарности. Выражение для сечения диполя представляется в следующей феноменологической форме:

$$\sigma(r, x) = \sigma_0 \left[ 1 - \exp\left(-\frac{r^2}{4R_0^2(x)}\right) \right]. \quad (2)$$

Радиус насыщения  $R_0(x)$  выражается как

$$R_0(x) = (x/x_0)^{\lambda/2},$$

а параметры модели  $\sigma_0 = 23.03$  мб,  $\lambda = 0.288$  и  $x_0 = 3 \cdot 10^{-4}$  найдены путем подгонки предсказаний модели к инклюзивным экспериментальным данным о структурной функции  $F_2$  при  $x < 0.01$ .

В работах [16], [17] определенные таким образом сечения диполей, использовались в расчетах для процессов дифракционной диссоциации в ГНР. При этом вклад компоненты  $q\bar{q}g$  вычислялся в предположении о строгом упорядочении величин поперечных импульсов глюона  $k_{Tg}$  и кварков  $k_{Tq}$

$$k_{Tg} \ll k_{Tq} \approx k_{T\bar{q}}.$$

Сечение диполей может быть выражено через неинтегрированную функцию распределения глюонов  $\mathcal{F}(x, l^2)$  ( $l^2$  -

квадрат импульса обменного глюона):

$$\int_0^{Q^2} dl^2 \mathcal{F}(x, l^2) = xg(x, Q^2),$$

которая при больших  $Q^2$  связана с обычной глюонной плотностью  $g(x, Q^2)$  соотношением:

$$\sigma(r, x) = \frac{4\pi^2}{3} \int \frac{dl^2}{l^2} [1 - J_0(lr)] \alpha_s \mathcal{F}(x, l^2). \quad (3)$$

Из (3) и (2) следует выражение для  $\mathcal{F}$ :

$$\alpha_s \mathcal{F}(x, l^2) = \frac{3\sigma_0}{4\pi^2} R_0^2(x) l^2 e^{-R_0^2(x)l^2}.$$

Таким образом, в данном подходе функция плотности  $g(x, Q^2)$  глюонов, осуществляющих  $t$  канальный обмен, может быть вычислена через параметры модели:

$$xg(x, Q^2) = \int_0^{Q^2} dl^2 \mathcal{F}(x, l^2) = \frac{3}{4\pi^2 \alpha_s} \frac{\sigma_0}{R_0^2(x)},$$

при условии  $Q^2 R_0^2(x) \gg 1$ . На языке фейнмановских диаграмм (Рис.4) функция  $\mathcal{F}(x, l^2)$  обозначается заштрихованной областью в нижних вершинах диаграмм. Переменная  $k^2$  в левой диаграмме, для процесса рождения  $q\bar{q}$  пары, обозначает виртуальность  $t$  канального кварка с поперечным импульсом  $k_T$  и импульсом  $k = \beta x_F p$

$$k^2 = \frac{k_T^2}{1 - \beta},$$

где  $p$  - импульс протона. Переменная  $g^2$  на диаграмме процесса рождения  $q\bar{q}g$  - обозначает виртуальность обменного глюона с импульсом  $g = z x_F p$  и поперечным импульсом  $g_T$

$$g^2 = \frac{g_T^2}{1 - z},$$

$z$  - доля импульса глюона от импульса  $t$  - канальной системы  $x_F p$  (померона).

В приближении двух компонент конечного состояния :  $q\bar{q}$  и  $q\bar{q}g$ , дифракционная модель насыщения GBW реализована в MC генераторе SATRAP [18], который был использован нами для анализа экспериментальных данных.

Дальнейшее развитие модель насыщения получила в работах Бартелса, Голек-Берната и Ковальского [19], [20], где сечение диполей модифицировано следующим выражением :

$$\sigma(r, x) = \sigma_0 \left[ 1 - \exp \left( - \frac{\pi^2 \alpha_s(\mu^2) x g(x, \mu^2)}{3\sigma_0} \right) \right],$$

глюонная плотность  $x g(x, \mu^2) = A_g x^{-\lambda_g} (1 - x)^{5.6}$  подчиняется уравнениям DGLAP эволюции, а параметры  $\mu^2$ ,  $A_g$ ,  $\lambda_g$  и  $\sigma_0$  - определяются из фита к данным по глубоконеупругому рассеянию.

### 3.2 Модель двухглюонного обмена BJLW.

Модель Бартелса и др. (BJLW) была сформулирована как попытка пертурбативного описания так называемого жесткого померона. Как известно, в разных процессах померон проявляет двойственные свойства. Померон, описывающий энергетическое поведение адрон-адронных процессов и процессов фоторождения векторных мезонов, имеет надкритичность  $\Delta \approx 0.1$  и называется мягким помероном. В процессах фоторождения  $\phi$  и  $J/\Psi$  мезонов, а также в рождении струй с большими поперечными импульсами доминирует вклад жесткого померона с надкритичностью  $\Delta \geq 0.1$ . Вначале модель была сформулирована [3] для описания дифракционного рождения  $q\bar{q}$  пары, а затем обобщена на случай рождения глюонной компоненты  $\gamma^* p \rightarrow q\bar{q}g p$  [4]. Модель BJLW дает предсказания в строго ограниченной кинематической области  $x_F < 0.01$  где, как указывает эксперимент, должен доми-

нировать вклад жесткого померона. Важным элементом модели является введение поперечного импульса  $k$  кварка (антикварка) конечного состояния, как дополнительной жесткой шкалы в вычислениях, что позволяет рассматривать померон пертурбативными методами.

В модели дифракционное сечение содержит вклад рождения  $q\bar{q}$  пары от продольно и поперечно поляризованных фотонов, а также вклад образования системы  $q\bar{q}g$  от поперечно поляризованных фотонов. Так для процесса дифракционного рассеяния  $e p \rightarrow q\bar{q} p$ , дифференциальное сечение представляется суммой сечений  $\gamma^* p$  рассеяния для поперечно (T) и продольно (L) поляризованных фотонов:

$$\frac{d\sigma^{ep}}{dydQ^2dtM_X^2dk^2} = \frac{\alpha_{em}}{yQ^2} \left[ \frac{1 + (1 - y)^2}{2} \frac{d\sigma_T^{\gamma^* p}}{dtM_X^2dk^2} + (1 - y) \frac{d\sigma_L^{\gamma^* p}}{dtM_X^2dk^2} \right],$$

а амплитуды процессов  $\gamma^* p$  - рассеяния  $I_T$  и  $I_L$ , определяющие дифференциальные сечения

$$\frac{d\sigma_T^{\gamma^* p}}{dtM_X^2dk^2} \sim |I_T(Q^2, M_X^2, k^2)|^2,$$

$$\frac{d\sigma_L^{\gamma^* p}}{dtM_X^2dk^2} \sim |I_L(Q^2, M_X^2, k^2)|^2$$

с точностью до лидирующих  $\log(1/x_p)$  выражаются через функцию распределения глюонов  $G(x_p, Q^2)$ :

$$I_T = \left[ \frac{4Q^2 M_X^4}{k^2(M_X^2 + Q^2)^3} + \frac{d}{dk^2} \right] x_p G\left(x_p, k^2 \frac{Q^2 + M_X^2}{M_X^2}\right),$$

$$I_L = \left[ \frac{Q^2 M_X^2 (Q^2 - M_X^2)}{k^2(M_X^2 + Q^2)^3} + \frac{d}{dk^2} \right] x_p G\left(x_p, k^2 \frac{Q^2 + M_X^2}{M_X^2}\right),$$

где  $k^2 \frac{Q^2 + M_X^2}{M_X^2}$  - виртуальность пары кварков, в которую диссоциирует фотон. Глюонная структурная функция  $G$ , имитирующая амплитуду померона, связана с неинтегрированным

глюонным распределением  $\mathcal{F}_G(x_P, l^2)$

$$\int_{l_{min}^2}^{Q^2} dl^2 \mathcal{F}_G(x_P, l^2) = x_P G(x_P, Q^2). \quad (4)$$

В качестве неинтегрированной глюонной структурной функции может быть использована производная от NLO параметризации GRV [21] или неинтегрированная глюонная структурная функция, определенная в модели насыщения. Глюонная плотность  $xG(x_P, Q^2)$  NLO GRV доступна для вычислений начиная со значения  $Q^2 = 0.4 \text{ ГэВ}^2$ . Это значение определяет нижний предел интегрирования  $l_{min}^2$  в уравнении (4) и разделяет области применимости пертурбативной и непертурбативной КХД.

В работе [5] модель BJLW получила развитие для описания дифракционного образования системы  $s\bar{s}g$ . Существенной особенностью этого обобщения является наличие сингулярности матричных элементов  $\gamma^* p$  рассеяния в области малых значений поперечного импульса  $g_T$  глюона, входящего в систему  $s\bar{s}g$ . Это делает предсказания модели чувствительными к нижнему пределу области изменения  $g_T$ . Диапазон изменения  $g_T^{\min}$ , рекомендуемый авторами работы [5], составляет  $g_T^{\min} = k_{T_g}^{cut} = 1 \text{ ГэВ} - 1.5 \text{ ГэВ}$ .

#### **4 Сопоставление данных с расчетами по моделям двухглюонного обмена.**

Сравнение результатов экспериментальных измерений с предсказаниями модели насыщения и модели двухглюонного обмена BJLW проводилось в кинематической области (1).

В расчетах использовалась функция глюонной плотности GRV94 [21]. Вероятность фрагментации очарованного кварка

в  $D^{*\pm}$  мезон равнялась  $f(c \rightarrow D^{*+}) = 0.235$ , масса  $c$  кварка  $m_c = 1.45$  ГэВ, а параметр шкалы факторизации  $\mu_F = \sqrt{p_{c,T}^2 + 4m_c^2}$ , где  $p_{c,T}$  - поперечный импульс очарованного кварка. Для расчетов по модели BJLW с компонентой  $c\bar{c}g$ , ограничение на минимальное значение глюонного поперечного импульса было выбрано равным  $k_{T_g}^{cut} = 1.5$  ГэВ.

На рисунках 5 и 8 представлено сравнение измеренных дифференциальных сечений с предсказаниями модели насыщения (MC генератор SATRAP), модели BJLW с учетом вклада в конечное состояние только компоненты  $c\bar{c}$  и модели BJLW с суммарным вкладом компонент  $c\bar{c}$  и  $c\bar{c}g$ . Из рисунков видно, что модель GBW находится в хорошем согласии с измерениями по форме распределений и по абсолютным значениям сечений. Вклад только  $c\bar{c}$  компоненты модели BJLW, очевидно, не способен удовлетворительно описать экспериментальные данные. Учет вклада  $c\bar{c}$  и  $c\bar{c}g$  компонент приводит к удовлетворительному описанию экспериментальных распределений моделью BJLW, кроме распределений по  $\log_{10}(M_X^2)$  и  $x_F$ . Этот результат можно объяснить тем обстоятельством, что обе модели сформулированы для описания дифракции фотона в области  $x = \beta x_F \leq 0.01$ . Поэтому анализируемые данные, имеющие верхнюю границу переменной Бъеркен  $x \approx 0.03$ , не могут претендовать на полностью успешное описание. Пользуясь терминологией теории Редже можно сказать, что модели удовлетворительно описывают кинематическую область, где доминирует вклад помerona состоящего только из глюонов и отсутствуют вклады сублидирующими траекторий ( $f, A_2$ ).

Чтобы проверить предсказания моделей строго в области их компетенции, дифракционное сечение рождения  $D^*$  было измерено также и в области  $x_F \leq 0.01$ :

$$\sigma_{ep \rightarrow e'D^{*\pm}Xp'}^{x_F < 0.01} = 240 \pm 25(stat)^{+14}_{-23}(syst)^{+10}_{-10}(p.dis.) pb$$

Данное значение было сопоставлено предсказаниям моделей

BJLW и GBW (SATRAP) в той же кинематической области:

$$\begin{aligned} \text{BJLW } c\bar{c} : \sigma_{ep \rightarrow e'D^{\star\pm}Xp'}^{x_P < 0.01} &= 136 \text{ pb}, \\ \text{BJLW } c\bar{c} + c\bar{c}g : \sigma_{ep \rightarrow e'D^{\star\pm}Xp'}^{x_P < 0.01} &= 246 \text{ pb}, \\ \text{SATRAP} : \sigma_{ep \rightarrow e'D^{\star\pm}Xp'}^{x_P < 0.01} &= 250 \text{ pb}, \end{aligned}$$

Из сравнения этих результатов ясно, что предсказание модели BJLW с учетом вклада только конечных состояний  $c\bar{c}$ , дает сильно заниженное значение сечения. Расчеты сечений с учетом вкладов от комбинации конечных состояний  $c\bar{c}$  и  $c\bar{c}g$ , как и предсказания модели GBW, находятся в хорошем согласии с экспериментальными данными.

Как отмечалось выше, предсказание модели BJLW для сечения, с учетом вклада состояний  $c\bar{c}g$ , сильно зависит от значения параметра  $k_{T_g}^{cut}$ , ограничивающего значение поперечного импульса глюона. Так предсказание модели BJLW для суммы вкладов  $c\bar{c}$  и  $c\bar{c}g$  в области  $x_P < 0.01$  и с ограничением поперечного импульса глюона  $k_{T_g}^{cut} = 1 \text{ ГэВ}$

$$\text{BJLW } c\bar{c} + c\bar{c}g : \sigma_{ep \rightarrow e'D^{\star\pm}Xp'}^{x_P < 0.01, k_{T_g}^{cut}=1} = 439 \text{ pb},$$

оказывается существенно выше экспериментально измеренного значения сечения.

## 5 Заключение

Проведен анализ дифракционного рождения  $D^{\star\pm}$  мезонов в области глубоконеупругого  $ep$  рассеяния на основе сравнения экспериментальных данных с предсказаниями моделей дифракционного ГНР.

С учетом различия областей компетентности моделей, не наблюдается существенной разницы в результатах их предсказаний. Это означает, что как подход, основанный наperturbативной КХД, так и представления о структурном помeronе, основанные на редже - феноменологии, - правильно

оценивают (и количественно и качественно) основные свойства дифракционной динамики.

Суммируя результаты сравнений, можно сделать два общих вывода о динамике дифракционного механизма :

- О природе обменной системы :

Все опробованные модели дифракционного рождения чарма указывают на необходимое присутствие в обмене глюонной компоненты.

Удовлетворительное описание данных удается получить в предположении об адроноподобной структуре померона с доминирующим вкладом глюонной компоненты.

Не противоречат данным и представления об обмене синглетной по цвету глюонной компонентой. В последнем случае, имитирующая померон функция распределения обменных глюонов ограничивает нижний предел области изменения их импульсов.

- О конечном партонном состоянии :

В случае адроноподобного обмена, конечное состояние исчерпывается образованием  $s\bar{s}$  пары, что дает хорошее согласие с экспериментальными данными.

В предположении механизма двухглюонного обмена, для успешного описания данных недостаточно вклада только состояния  $s\bar{s}$  и требуется учет вклада суперпозиции состояний  $s\bar{s}$  и  $s\bar{c}g$ . При этом для удовлетворительного описания экспериментальных данных поперечные импульсы  $s$  канальных партонов должны удовлетворять условию наличия мягкой глюонной компоненты :  $g_T \ll k_{Tq} \approx k_{T\bar{q}}$  (в модели насыщения), а в модели BJLW - ограничению на поперечный импульс глюона :  $g_T > 1.5$  ГэВ.

## Список литературы

- [1] L. Alvero et al., Phys. Rev. **D 59**, 074022 (1999).
- [2] H. Lotter, Phys. Lett. **B 406**, 171 (1997).
- [3] J. Bartels, H. Lotter and M. Wüsthoff, Phys. Lett. **B 379**, 239 (1996).
- [4] J. Bartels, H. Jung and M. Wüsthoff, Eur. Phys. J. **C 11**, 111 (1999).
- [5] J. Bartels, H. Jung and A. Kyrieleis, Eur. Phys. J. **C 24**, 555 (2002).
- [6] K. Golec-Biernat and M. Wüsthoff, Phys. Rev. **D 59**, 014017 (1999).
- [7] Н.Н. Власов, Л.К. Гладилин, Р.К. Дементьев, Preprint НИИЯФ МГУ 2002-25/709, 2002.
- [8] Н.Н. Власов, Л.К. Гладилин, Р.К. Дементьев, Preprint НИИЯФ МГУ 2002-26/710, 2002.
- [9] G. Ingelmann and P.E. Schlein, Phys. Lett. **B 152** (1985).
- [10] V.N. Gribov and L.N. Lipatov, Sov. J. Nucl. Phys. **15**, 438 (1972).
- [11] G. Altarelli and G. Parisi, Nucl. Phys. **B 126**, 298 (1977).
- [12] Yu.L. Dokshitzer, Sov. Phys. JETP **46**, 641 (1977).
- [13] B.W. Harris, J. Smith, Phys. Rev. **D 57**, 2806 (1998).
- [14] C. Peterson et al., Phys. Rev. **D 27**, 105 (1983).
- [15] L. Gladilin, Preprint hep-ex/9912064, 1999.

- [16] K. Golec-Biernat and M. Wüsthoff, Phys. Rev. **D** **60**, 114023 (1999).
- [17] K. Golec-Biernat, M. Wusthoff, Eur. Phys. J. **C** **20**, 313 (2001).
- [18] H. Kowalski and M. Wüsthoff, *Proceedings of the 8th International Workshop Deep Inelastic Scattering and QCD*, J. Gracey and T. Greenshaw (eds.), p. 192. World Scientific, Singapore (2000).
- [19] J. Bartels, K. Golek-Biernat and H. Kowalski, Acta Phys. Polon. **B** **33**, 2853 (2002).
- [20] J. Bartels, K. Golek-Biernat and H. Kowalski, Phys. Rev. **D** **66**, 014001 (2002).
- [21] M. Glück, E. Reya and A. Vogt, Z. Phys. **C** **67**, 433 (1995).

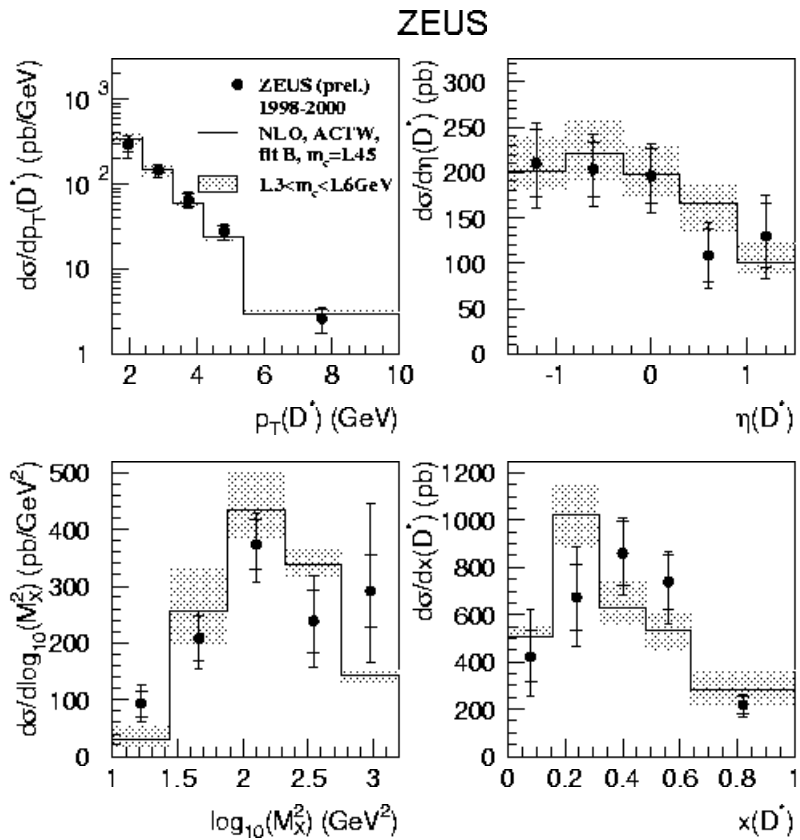


Рис. 1: Дифференциальные сечения рождения  $D^{*\pm}$  мезона в кинематической области, описанной в тексте. Сечения представлены как функции переменных  $p_T(D^*)$ ,  $\eta(D^*)$ ,  $\log_{10}(M_X^2)$ ,  $x(D^*)$ . Внутренние ошибки на точках определяют статистические неопределенностии, внешние - статистические и систематические неопределенностии сложенные в квадратурах. Сплошная линия - предсказание модели ACTW.

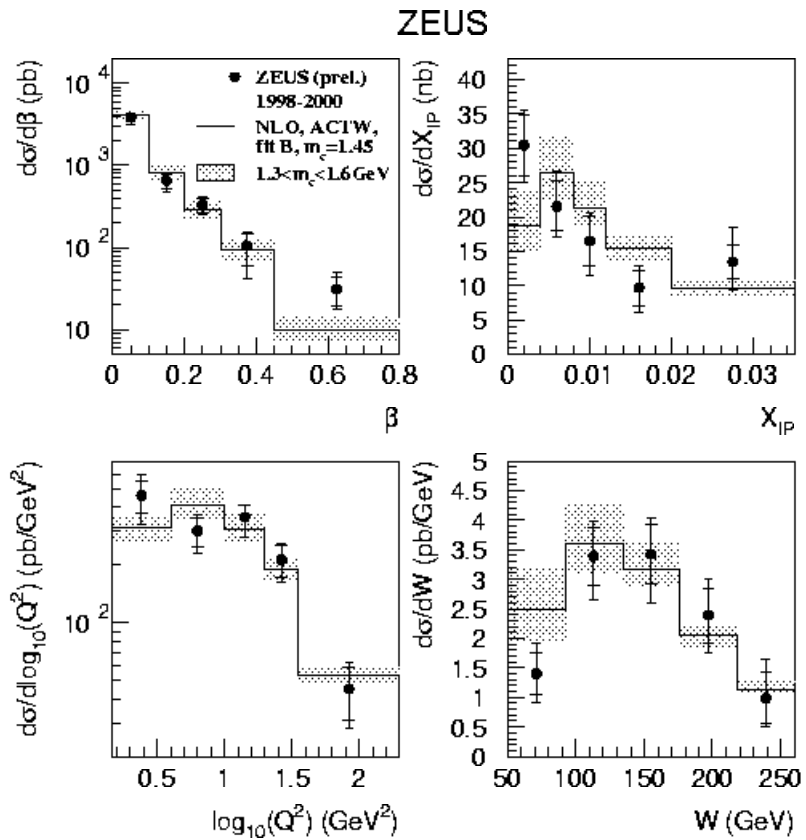


Рис. 2: Дифференциальные сечения рождения  $D^{*\pm}$  мезона в кинематической области, описаной в тексте. Сечения представлены как функции переменных  $\beta$ ,  $x_F$ ,  $\log_{10}(Q^2)$ ,  $W$ . Внутренние ошибки на точках определяют статистические неопределенности, внешние - статистические и систематические неопределенности сложенные в квадратурах. Сплошная линия - предсказание модели ACTW.

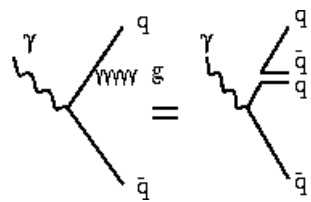


Рис. 3: Излучение глюона в дипольной картине партонной эволюции. Поперечные импульсы партонов следуют соотношению  $g_T \ll k_{Tq} \approx k_{T\bar{q}}$ .

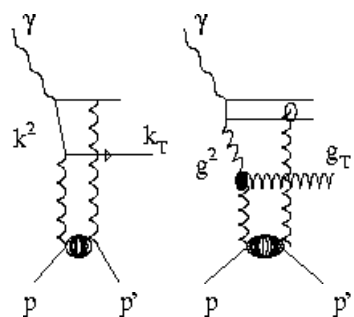


Рис. 4: Процессы дифракционного образования  $c\bar{c}$  пары (диаграмма слева) и системы  $c\bar{c}g$  (диаграмма справа).

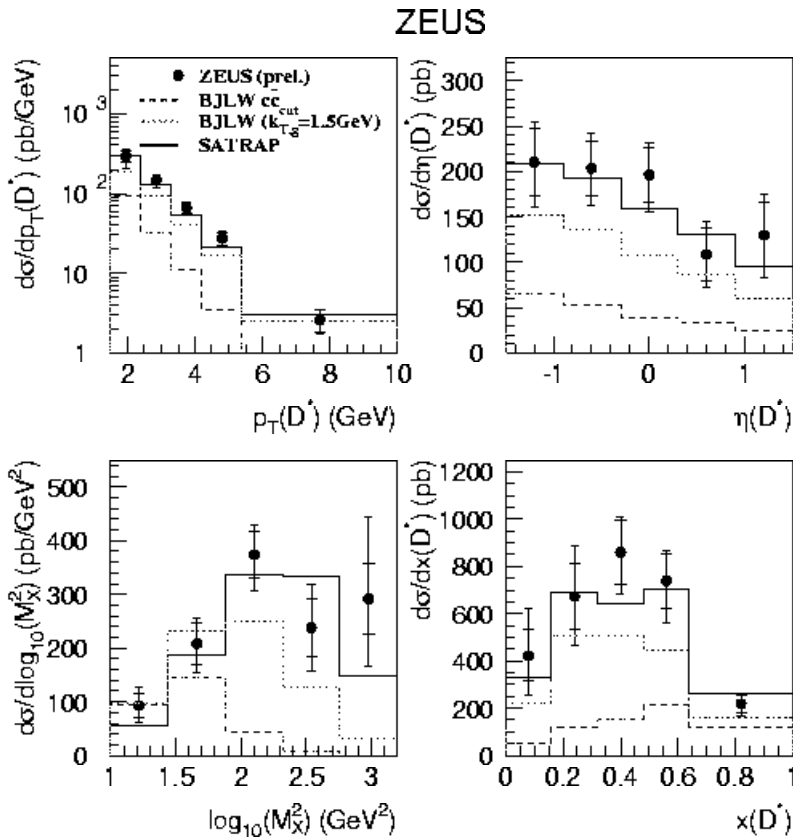


Рис. 5: Дифференциальные сечения рождения  $D^{*\pm}$  мезона в кинематической области, описанной в тексте. Сечения представлены как функции переменных  $p_T(D^*)$ ,  $\eta(D^*)$ ,  $\log_{10}(M_X^2)$ ,  $x(D^*)$ . Внутренние ошибки на точках определяют статистические неопределенности, внешние - статистические и систематические неопределенности сложенные в квадратурах. Кривые соответствуют модели насыщения (SATRAP) и BJLW, описанным в тексте.

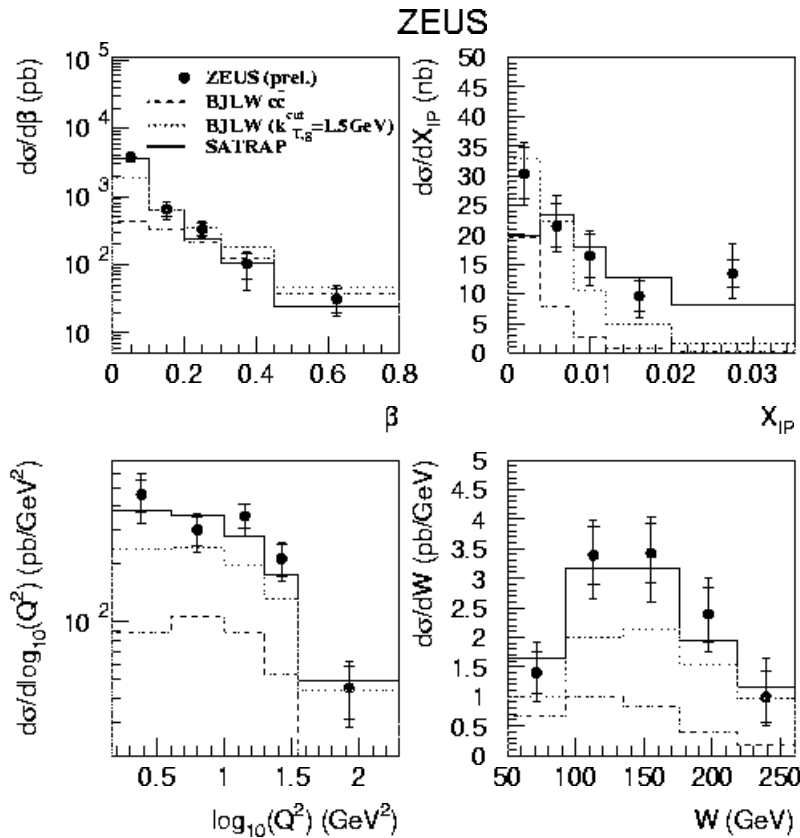


Рис. 6: Дифференциальные сечения рождения  $D^{*\pm}$  мезона в кинематической области, описаной в тексте. Сечения представлены как функции переменных  $\beta$ ,  $x_P$ ,  $\log_{10}(Q^2)$ ,  $W$ . Внутренние ошибки на точках определяют статистические неопределенности, в то время как внешние - статистические и систематические неопределенности сложенные в квадратурах. Кривые соответствуют модели насыщения (SATRAP) и BJLW, описанным в тексте.

**Николай Николаевич Власов,  
Леонид Константинович Гладилин,  
Ромуальд Константинович Дементьев**

**Изучение дифракционного рождения  $D^{*\pm}$  мезонов в  
реакциях глубоконеупрого рассеяния на  
коллайдере HERA.**

**Часть III. Сравнение  
экспериментальных результатов  
с модельными расчетами.**

Препринт НИИЯФ МГУ - 2003 - 3/716

Работа поступила в ОНТИ 15.01.2003 г.

**ИД № 00545 от 06.12.1999**

**Издательский отдел  
Учебно-научного центра довузовского образования**

117246, Москва ул. Обручева, 55А  
119992, Москва, Ленинские горы, ГЗ МГУ, Ж-105а  
Тел. /факс (095) 718-6966, 939-3934  
e-mail: izdat@abiturcenter.ru  
<http://www.abiturcenter.ru>

Гигиенический сертификат № 77.99.2.925.П.9139.2.00 от  
24.02.2000

Налоговые льготы-Общероссийский классификатор продукции  
ОК-005-93, том 1 -953000

Заказное. Подписано в печать 2003г. Формат 60x90/16  
Бумага офсетная № 2. Усл. печ. л.  
Тираж 50 экз. Заказ №

Отпечатано в Мини-типографии УНЦ ДО